

кристалл, растущий в переохлаждённом расплаве или растворе, сохраняет свою форму, пока его радиус не достигнет критич. значения, зависящего от радиуса критич. зародыша и скорости поверхностных процессов K . В дальнейшем развиваются выступы, и кристалл приобретает скелетную (рис. 14, а, б) или дендритную форму (рис. 14, в, г). Название последней связывается с появлением вторичных ветвей после достижения первичным выступом критич. длины.

Примесь, отталкиваемая фронтом К. из расплава, скапливается перед ним и, меняя равновесную темп-ру К., вызывает т. н. концентрационное охлаждение, увеличивающееся по мере удаления от фронта. Если равновесная темп-ра в расплаве увеличивается с расстоянием от фронта быстрее, чем истинная, то возникает концентрационная неустойчивость. Она исчезает при достаточно высоких отношениях градиента темп-ры на фронте К. к его скорости.

Рис. 13. Схема ячеистой структуры фронта кристаллизации.

быстрее, чем истинная, то возникает концентрационная неустойчивость. Она исчезает при достаточно высоких отношениях градиента темп-ры на фронте К. к его скорости.

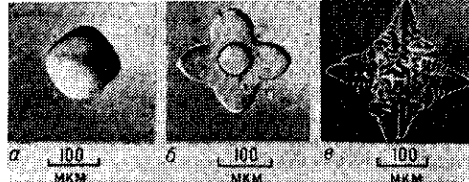


Рис. 14. Исходный окружный кристалл циклогексанола в расплаве (а), начальная стадия роста скелетного кристалла (б), дендрит (в), дендрит при большом переохлаждении (г).

Фронт К. из раствора всегда неустойчив, т. к. пересыщение с увеличивается по мере удаления от растущей поверхности. Для огранённых кристаллов характерно большое пересыщение около вершин и рёбер, причём перепад с увеличивается с размером грани. При достаточно больших пересыщении и размере грани вершины становятся ведущими источниками ступеней роста, а в центре частях граней возникают провалы — начинается скелетный рост (рис. 15). Ему способствуют нек-рые примеси. Неустойчивость К. из растворов подавляется интенсивным перемешиванием, снижением пересыщения, а иногда введением примесей.

Захват примесей. Отношение концентраций примеси в кристалле и исходном веществе наз. коэф. захвата К. При $K < 1$ К. ведёт к очистке от примеси кристалла, при $K > 1$ — к очистке исходной среды, $K = 1$ соответствует сохранению концентрации. Коэф. захвата разными гранями различны и не совпадают с термодинамич. равновесными, определяемыми диаграммой состояния. Поэтому состав кристалла отклоняется от термодинамически равновесного. Так, при лазерной или электронной импульсной рекристаллизации тонких приповерхностных слоёв Si со скоростями К. до

неск. м/с концентрация примесей As, Sb, In, Bi в кристалле Si превосходит равновесную в 3—600 раз, причём подавляющее большинство примесных атомов находится в узлах решётки. Это связано, в-первых, со статистич. отбором: каждый узел решётки при К. окончательно заполняется тем или иным атомом после множества попыток (от 10^6 — 10^7 при скоростях $\sim 10^{-3}$ см/с и до 10 при скоростях ~ 1 м/с). Во-вторых, в условиях быстрой К. не успевает протекать диффузия в расплаве.

Неравновесный захват примеси при послойном росте связан со статистич. отбором на ступенях, а также с тем, что даже равновесная концентрация примеси в поверхностном слое кристалла и торце ступени заметно отличается от объёмной. При достаточно быстром отложении слоёв следующий слой заморовывает предыдущий вместе с содержащейся в нём примесью. В результате каждая грань захватывает примесь в кол-ве, отвечающем концентрации в её поверхностном слое, и кристалл оказывается сложенным из секторов роста разных граней, с разл. концентрациями примесей и др. дефектов — возникает т. н. секториальное строение кристалла (рис. 16). Количество примеси, захватываемое при движении ступени по грани, зависит от ориентации этой ступени. Поэтому сектор роста данной грани, в свою очередь, разбивается на области, отложенные вицинальными разной ориентации с разным содержанием примеси (вицинальная секториальность, рис. 17).

Темп-ра и концентрация примеси на фронте К. из расплава флуктуируют из-за конвекции расплава и вращения кристалла и тигля в обычно слегка несимметричном тепловом поле. Соответствующие положения фронта К. отпечатываются в кристалле в виде полос (зонарное строение, рис. 16). Флуктуации темп-ры могут быть столь сильны, что рост кристалла сменяется плавлением и ср. скорость оказывается на порядок меньше мгновенной. Интенсивность конвекции и амплитуда полосчатости уменьшаются при выращивании кристаллов в небесомости.

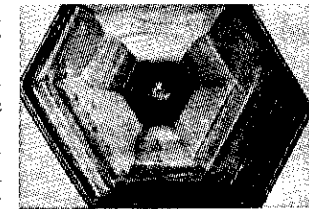


Рис. 16. Секториальное и зонарное строение кристалла алюмокалиевых квасцов.

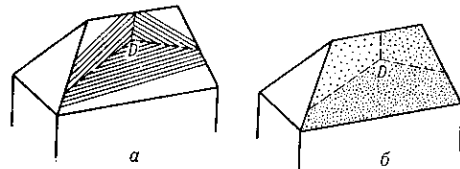


Рис. 17. Вицинальный холмик, образованный на грани ступенями трёх разных ориентаций вокруг краевой дислокации B (а). Разные склоны холмика захватывают разные количества примеси (б).

Образование дефектов. Посторонние газы, растворимые в растворах и расплавах лучше, чем в кристаллах, выделяются на фронте К. Пузырьки газа захватываются растущим кристаллом, если они превышают критич. размер, убывающий с увеличением скорости роста (аналогично захватываются твёрдые частицы). При К. в небесомости конвективный отвод пузырьков от фронта К. затруднён и кристалл обогащается газовыми включениями. Специально создавая пузырьки, получают пеноматериалы. Реальные кристаллы всегда имеют зонарно и секториально распределённые примеси, к-рые изменяют параметр решётки, что вызывает внутр. напряжения, дислокации и трещины. Последние возникают также из-за несоответствия параметров решёток затравки (подложки) и нарастающего на ней кристалла. Источниками внутр. напряжений и дислокаций